

3.2.7. Субконт-антисубконтные токи во внешней оболочке голой «планеты»

Математические принципы и приемы, позволяющие выявить метрико-динамическую структуру локального $\lambda_{m:n}$ -вакуумного образования из совокупности десяти метрик вида (3.2.24) – (3.2.33) или (3.2.35), были приведены в п. 2.3.2 зеленой Алсигны [9]. В этом пункте мы воспользуемся этими методами для исследования метрико-динамической структуры голой «планеты» (или «звезды»).

Напомним некоторые основные положения Алгебры сигнатур на примере совокупности четырех упрощенных метрик (3.2.35а) – (3.2.35г), описывающих внешнюю оболочку голой «планеты».

Все эти четыре метрики:

$$\begin{aligned}
 ds^{(-a)2} &= \left(1 - \frac{r_{n1}}{r}\right) c^2 dt^2 - \frac{dr^2}{\left(1 - \frac{r_{n1}}{r}\right)} - r^2 (d\theta^2 + \sin^2 \theta d\varphi^2), \\
 ds^{(-b)2} &= \left(1 + \frac{r_{n2}}{r}\right) c^2 dt^2 - \frac{dr^2}{\left(1 + \frac{r_{n2}}{r}\right)} - r^2 (d\theta^2 + \sin^2 \theta d\varphi^2), \\
 ds^{(+c)2} &= -\left(1 - \frac{r_{n3}}{r}\right) c^2 dt^2 + \frac{dr^2}{\left(1 - \frac{r_{n3}}{r}\right)} + r^2 (d\theta^2 + \sin^2 \theta d\varphi^2), \\
 ds^{(+d)2} &= -\left(1 + \frac{r_{n4}}{r}\right) c^2 dt^2 + \frac{dr^2}{\left(1 + \frac{r_{n4}}{r}\right)} + r^2 (d\theta^2 + \sin^2 \theta d\varphi^2)
 \end{aligned} \tag{3.2.40}$$

являются результатом решений одного и того же сбалансированного вакуумного уравнения Эйнштейна (3.1.40). Кроме того, эти четыре решения описывают метрико-динамическое состояние одной и той же области вакуумной протяженности, окружающей ядро голой «планеты» ($r \in [r_{n1,2,3,4}, R_v]$). Поэтому Алсигна предположила, что усредненное состояние внешней оболочки голой «планеты» определяется результатом усреднения всех 4-х метрик (3.2.40)

$$ds^{(abcd)2} = \frac{1}{4} (ds^{(-a)2} + ds^{(-b)2} + ds^{(+d)2} + ds^{(+c)2}). \tag{3.2.41}$$

За этим предположением кроется несколько математических и физических следствий.

1) Выражение (3.2.41) носит вероятностный характер. Это говорит о том, что оно описывает лишь усредненное состояние чрезвычайно сложно переливающейся околоядерной среды.

2) Выражение (3.2.41) – это квадратичная форма, напоминающая теорему Пифагора. Следовательно, элементы 4-длины $ds^{(-a)}$, $ds^{(-b)}$, $ds^{(-d)}$, $ds^{(-c)}$, взаимно перпендикулярны друг другу

$$\overset{\text{H}}{ds^{(-a)}} \perp \overset{\text{V}}{ds^{(-b)}} \perp \overset{\text{H}}{ds^{(+d)}} \perp \overset{\text{I}}{ds^{(+c)}}.$$

По сути, это означает, что геодезические линии таких протяженностей переплетены в 4-нитевые спирали (т. е. в жгуты) или в другие более сложные узловые конфигурации (см. рис. 3.2.6).

3) Квадратичная форма (3.2.41)

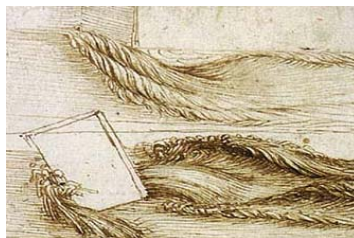
$$4ds^{(abc)2} = ds^{(-a)2} + ds^{(-b)2} + ds^{(+d)2} + ds^{(+c)2}$$

может быть представлена в виде произведения двух комплексно сопряженных кватернионов

$$2ds^{(abc)} = ds^{(-a)} + ids^{(-b)} + jds^{(+d)} + kds^{(+c)},$$

$$2ds^{(abc)*} = ds^{(-a)} - ids^{(-b)} - jds^{(+d)} - kds^{(+c)}.$$

Отсюда следуют спинорные свойства изучаемой области вакуумной протяженности (см. гл. 1.4 и 1.8 в желтой Алсигне [8] и п. 2.3.3.4 в зеленой Алсигне [9]).



<http://www.beseder.co.il/>

Фрагмент рисунка Леонардо да Винчи

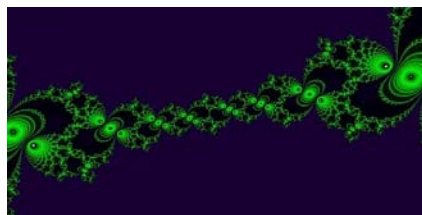


<http://www.zubengelgenubi.org.uk/>

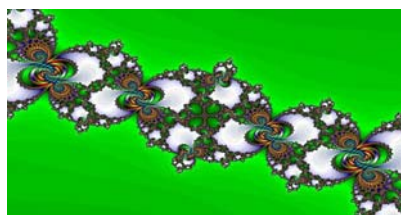


<http://miek.narod.ru/>

Рис. 3.2.6. Сложные узловые переплетения внутривакуумных субконт-антисубконтных токов

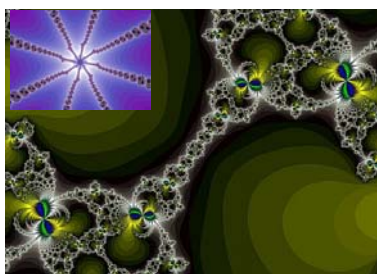


www.fractopolis.com

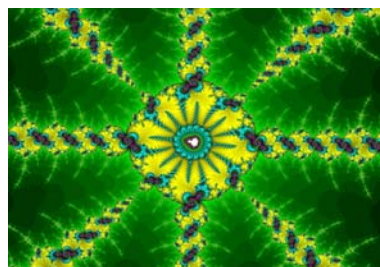


www.fractopolis.com

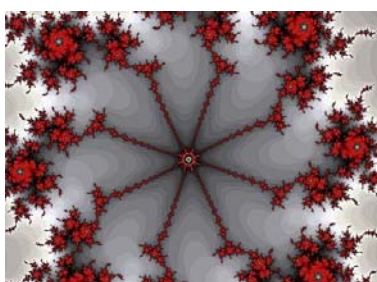
Фрактальные иллюстрации субконт-антисубконтных жгутов



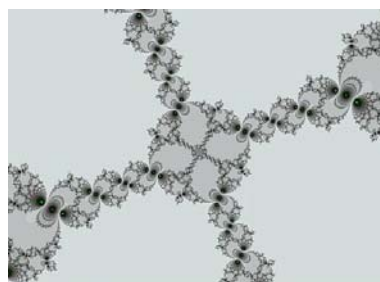
www.fractopolis.com



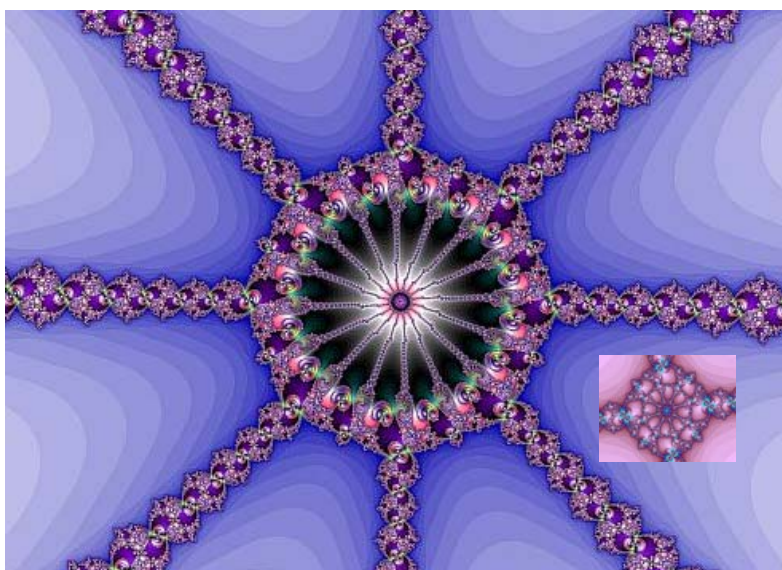
www.fractopolis.com



www.fractopolis.com



www.fractopolis.com



www.fractopolis.com

Фрактальные иллюстрации субконт-антисубконных жгутов
и сотканных из них вакуумных образований



www.fractal-recursions.com



<http://www.klevi.ru/>

Фрактальные иллюстрации сложнейших внутривакуумных
переплетений *субконт-антисубконных* токов

4) Вторая основополагающая гипотеза Алсигны гласит, что нулевые компоненты метрического тензора каждой из 4-х метрик (3.2.40) связаны с движением гипотетических внутривакуумных субстанций (i - субконтуров и j - антисубконтуров). Данная эвристическая связь устанавливается на основании сопоставления метрик вида (3.2.40) с метрикой вида (2.3.44) в [9]

$$ds^2 = \left(1 - \frac{v_r^2}{c^2}\right) c^2 dt^2 - \frac{dr^2}{\left(1 - \frac{v_r^2}{c^2}\right)} - r^2 (d\theta^2 + \sin^2 \theta d\varphi^2),$$

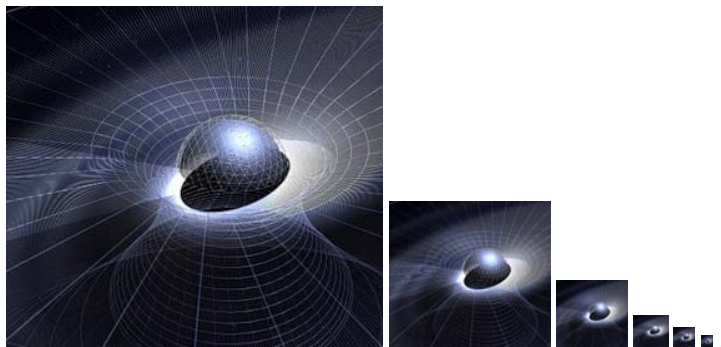
(где v_{ri} – скорость перемещения i -го субстанционального континуума в радиальном направлении) описывающей распространение луча света в участке среды, который движется со скоростью v_r относительно удаленного неподвижного наблюдателя. В результате одного из таких сопоставлений получается тождество

$$1 - v_{ri}^2/c^2 \equiv 1 - r_i/r$$

откуда следует эвристическое равенство

$$v_{ri} = \pm (c^2 r_i/r)^{1/2}. \quad (3.2.41a)$$

Алсигна считает, что данное равенство отражает общее свойство вакуума: неважно r_i – это радиус ядра «электрона» ($r_i = r_e$), или радиус ядра голы «планеты» ($r_i = r_n$), или радиус ядра голы «галактики» ($r_i = r_G$) и т. д., – выражение (3.2.41a) остается неизменным. Меняется только величина горловин гравитационных воронок вокруг сферических ядер различного диаметра:



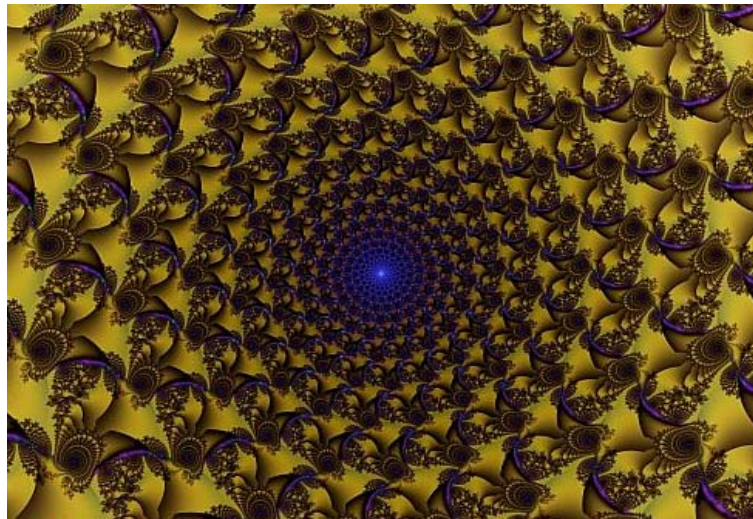
Все гравитационные воронки вокруг ядер «галактик», «планет», «клеток», «атомов», «электронов» и т. д. в среднем устроены одинаково. При этом согласно (3.2.41a), на границе ядер (т. е. при $r = r_i$), скорость внутривакуумных течений близка к скорости света ($v_{ri} \approx c$).

Это является основным условием «разрыва» вакуумной протяженности вне зависимости от масштабов проявления внутривакуумных процессов.

Для более детального ознакомления с математическим аппаратом и принципами Алсигны отсылаем к ее желтой и зеленой частям [8,9].



www.fractal-recursions.com



www.fractal-recursions.com

Фрактальные иллюстрации спиральных галактик